

اطياف الاشعة تحت الحمراء واطياف رامان والانماط الاهتزازية ومستويات الطاقة الاهتزازية

بييردين [C-5,4] مركب 6,4-ثنائي ميثيل-3,2,1- ترازول

عبدالرحمن فرج عبدالقادر و إسلام عبدالعالي ابو الوفاء و عبدالسلام ابراهيم عبدالسلام

و موسى ابراهيم صالح و المهدي محمد المكي

قسم الكيمياء - كلية العلوم - جامعة سبها، ليبيا

*للمراسلة: Abu.mohamamed@sebhau.edu.ly

المخلص اطياف الاشعة تحت الحمراء ، واطياف رامان ، والانماط الاهتزازية ، ومستويات الطاقة الاهتزازية ، وطاقة الجهد التوزيعية PED للمتساكن (4,6-diMTP-c) 1H- and 3H-4,6-dimethyl-1,2,3-triazolo[4,5-c] pyridine تم حسابها كيميا وكيميائيا باستخدام دالة الكثافة النظرية DFT عند مستوى B3LYP/6-31G(d,p). قيم النتائج التجريبية المتحصل عليها تتفق مع النموذج النظري للمستويات الاهتزازية والهندسية بعوامل تحجيم (ثوابت اللاتوافقية) $v_{26}-v_{52}=1.00$ ، $v_9-v_{25}=0.98$ ، $v_1-v_8=0.96$. وأطوال الروابط والزوايا المضبوطة تتفق جيدا مع بيانات الأشعة السينية لمركبات الترازول بييردين الاخرى.

الكلمات المفتاحية: IR and Raman, DFT, 4,6-dimethyl-1,2,3-triazolo[4,5-c]pyridine tautomerization

Fourier transform IR and Raman spectra, Normal modes, vibrational energy level of 1H- and 3H-4,6-dimethyl-1,2,3-triazolo[4,5-c]pyridine

*Abudelrhman. Faraj, esalm Abo alwafa, abdel-sallam Ibrahim, mousa ibrahim & mahdi Almakey

Department of chemistry, faculty of science, university of Sebha, Libya

*Corresponding Author: Abu.mohamamed@sebhau.edu.ly

Abstract Fourier transform IR and Raman spectra, Normal modes, vibrational energy level and potential energy distribution (PED) of 1H- and 3H-4,6-dimethyl-1,2,3-triazolo[4,5-c]pyridine tautomers, have been determined using density function theory (DFT) at the B3LYP/6-31G(d,p) level. The results of experimental values obtained agreement with the theoretical model of geometry and vibration levels with the scaling factor $v_1-v_8= 0.96$, $v_9-v_{25}= 0.98$ and $v_{26}-v_{52}= 1$, respectively, the Optimised bond lengths and bond angles are good agreement with X-ray data of other triazolo-pyridine compounds.

Keyword IR and Raman, DFT, 4,6-dimethyl-1,2,3-triazolo[4,5-c]pyridine tautomerization.

المقدمة

والاشعة فوق البنفسجية [5]. وتعتبر ايضا مواد ذات محتوى نيتروجيني عالي بالرجوع الى تركيبها الكيميائي وتحليل العناصر لها، لذلك تستخدم ايضا في صناعة المفرقات والألعاب النارية [6]. ويظهر التأثير الحثي في المركب المدروس على انه قوة الكترونية نتيجة للاستقطاب في روابط الجزينات أو الايونات وذلك للاختلاف في الكهروسالبية للذرات المكونة للرابطة في المركب [7]. فمثلاً السحابة الإلكترونية في الرابطة سيجمما σ -bond التي تربط بين ذرتين مختلفتين ليست متماثلة على جانبي الرابطة ولكنها مزاحة قليلاً باتجاه الذرة الأكثر سالبية كهربية. وهذا يسبب حالة ثابتة من القطبية للرابطة حيث تحمل الذرة الأكثر سالبية كهربية شحنة سالبة جزئية (- δ) بينما تحمل الذرة الأخرى على شحنة موجبة جزئية (+ δ) ، وعندما تتصل الذرة الأكثر سالبية بسلسلة من الذرات (عادة سلسلة كربونية) فإن الشحنة الموجبة تُرحل إلى الذرات الأخرى في هذه السلسلة ، وهذا هو التأثير الحثي الساحب للإلكترونات electron-withdrawing ويرمز

تعتبر المركبات الحلقية غير متجانسة الحلقة جزء لايتجزئ من الكيمياء العضوية [1] ، حيث تشكل اكثر من 65% من الكيمياء العضوية ، وتعتبر هذه المركبات ذات انتشار واسع في الطبيعة ، وضرورية للحياة مثل تركيبة الحمض النووي وغيرها من المركبات الحيوية الاخرى مثل الهيموجلوبين والكلورفيل [2] ، ونظرا للفاعلية الحيوية لهذه المركبات ذات الحلقة الثلاثية ، والرباعية ، والخماسية ، والسداسية فقد كانت لها اهمية كبيرة في المجالات الطبية ، والصيدلانية كصناعة المضادات الحيوية المستعملة في الصناعات البيطرية ، واستخدام بعض المركبات والمتساكلات ذات نفس التركيب لعلاج بعض الامراض الجلدية [3]. وفي السنوات الاخيرة جذبت معظم الدراسات الاهمية الحيوية لهذه المركبات غير المتجانسة في مجال الزراعة حيث استخدمت كمبيدات حشرية [4]. وتعتبر حلقة الترازول المتصلة بحلقة البييردين في المركب المدروس من اهم المركبات المعطية للإلكترونات وتستخدم كمثبطات للإشعاع وخصوصا أشعة الليزر

الاهتزازية في المركبات المدروسة على النحو الاتي حركات في مستوى الحلقة وحركات في غير مستوى الحلقة وحركات عبارة عن مزيج بين مستوى الحلقة وغير مستوى الحلقة [8]. وكانت نتائج الحوسبة الكيميائية لها دور مهماً في دراسة وحل المشاكل المعقدة والمتداخلة في دراسة النظام ومشاهده نتائج بصوره واضحة مما سهل اتخاذ تحديد بنية النظام المدروس.

الجزء العملي:

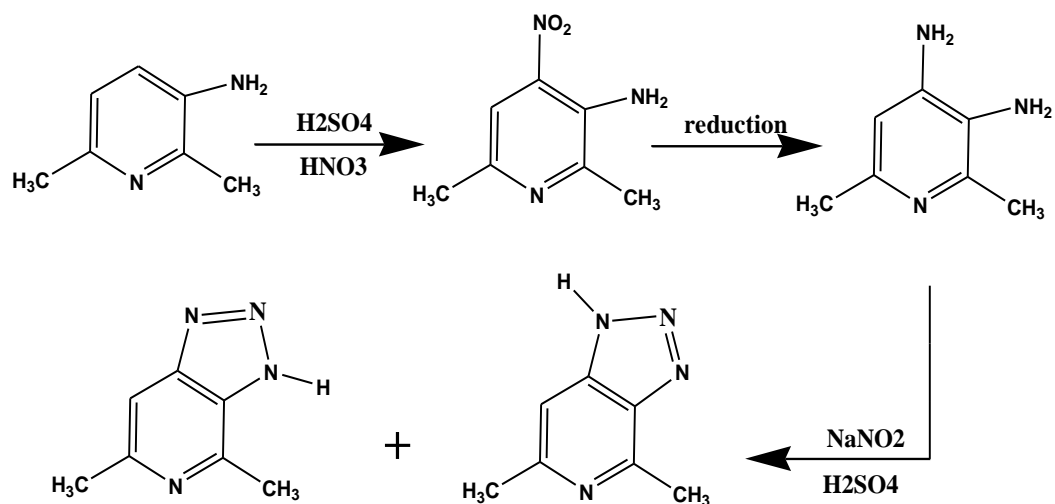
التحضير:

ثم تحضير المركب 4,6-diMTP وذلك باذابة 2.82 جرام من المركب 2,6-dimethyl pyridine-3,4-diamine في 84.72 سم³ ماء ، وإضافة 3.39 سم³ من حمض الكبريتيك المركز.، وأثناء التبريد يتم فرز بلورات من سلفات تنائي الامين وعند درجة الصفر درجة مئوية ، ويتم إضافة محلول من 2.6 جرام من NaNO₂ في 11.30 سم³ ماء ، فنلاحظ نوبان بلورات سلفات تنائي الامين ويصبح المحلول شفافا.

الخليط الناتج يتم تخريجه عند درجة صفر درجة مئوية و-pH=4 لمدة 5 ساعة ، فينتج راسب ابيض مصفر يتم ترشيحه وغسله بالماء المقطر وتجفيفه ، وزن الناتج 2.63 جرام اي 77% . ، والناتج الاتية تم الحصول عليها من التحليل الكيميائي للعناصر والخواص الفيزيائية للمركب C₇H₈N₄ وجدت كالآتي: ووزنه الجزئي 148 يشكل فيه الكربون نسبة 56.76% والهيدروجين 5.4% والنيتروجين 37.84%، درجة غليانه 348.6 C°، درجة انصهاره 301.72 C°، طاقة جيبس 235.86 C°، حرارة التشكيل 28.41 C°. والميكانيكية الأتية هي المستخدمة لتحضير المركب المدروس.

إليه بـ (-) أي التأثير الحثي السالب ، فبعض المجموعات ، مثل مجموعات الألكيل تكون أقل من الهيدروجين في سحب الإلكترونات ، ولهذا تعتبر مجموعات طاردة للإلكترونات electron- releasing، وبالتالي يكون لها تأثير حثي موجب ويرمز إليه بـ (+). كلما كانت القطبية المستحثة أقل من القطبية الأصلية ، كان التأثير الحثي أسرع اختفاءً ومؤثراً فقط على مسافة قصيرة. والتأثير الحثي هو تأثير دائم ولكنه ضعيف لأنه يتضمن إزاحة إلكترونات الرابطة القوية سيجما ، بالإضافة إلى عوامل أخرى أقوى من ممكن أن تحجبه. وتصنف الجزيئات إلى نوعين هما خطي وغير خطي ، وتحتوي الجزيئات الخطية على عدد من الاهتزازات هي (3N-5) بينما تحتوي الجزيئات غير الخطية على عدد من الاهتزازات هي (3N-6) حيث يعبر العدد 6 عن 3 حركات دورانية ، و3 حركات انتقالية ، وتصنف ايضا الحركات الاهتزازية إلى نوعين وهي التمدد والانحناء ؛ ويعرف التمدد بأنه التغير في المسافة بين الذرات وعلى طول الرابطة ، وقد يكون تغير بسيط ويشمل تمدد رابطة واحدة نتيجة لحركة الذرتين المكونتين للاهتزاز ، وهناك نوعين من هذا التمدد هو التمدد الاهتزازي المتماثل ويرمز له بالرمز (ν_s) ويحدث فيه تمدد للرابطين في نفس الوقت ، اما النوع الأخر فهو التمدد الاهتزازي غير المتماثل ويرمز له بالرمز (ν_{as}) ويحدث فيه تمدد لرابطة دون الأخرى او انكماش للرابطة الأخرى ، أما الانحناء الاهتزازي يشمل تغير في الزوايا بين الرابطين وينتج عنه حركة في اتجاه غير محور الرابطة ، ويشمل كل من الحركات المقصية المتماثلة ويرمز لها بالرمز (δ_s) وغير المتماثلة ويرمز لها بالرمز (δ_{as}) ، والحركات المتأرجحة Rocking ويرمز لها بالرمز (ρ) ، اما الحركات الموجية Waving فيرمز لها بالرمز (ω) ، وحركات الالتواء Torsion ويرمز لها بالرمز (τ) ، وتصنف الحركات

معادلة التفاعل:



Mixture

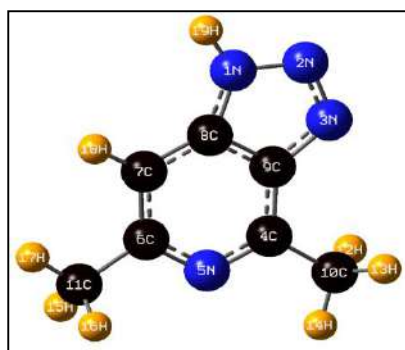
المخطط (1) يوضح الميكانيكية المقترحة لتحضير 1H- and 3H-4,6-dimethyl-1,2,3-triazolo[4,5-c] pyridine (**4,6-diMTP-c**)

العدد الموجي للأشعة تحت الحمراء ورامان وكذلك كثافة الحزمة تم حسابها أيضا عند نفس المستوى DFT باستخدام برنامج [9-10].Gaussian 98W

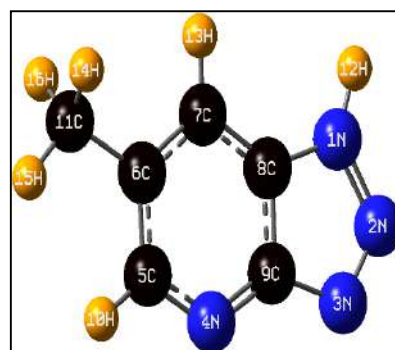
الحسابات الكمية الكيميائية:
التركيب الجزيئي للمركب المدروس تم دراسته باستخدام دالة الكثافة النظرية DFT ل Lee-Yang-Parr عند المستوى . B3LYP/6-31G(d,p)

النتائج والمناقشة:

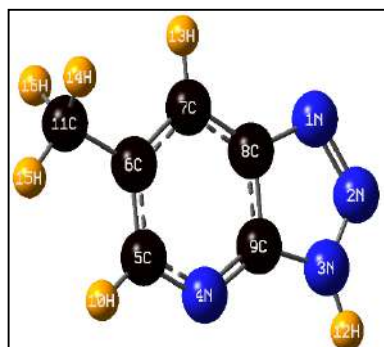
النتائج



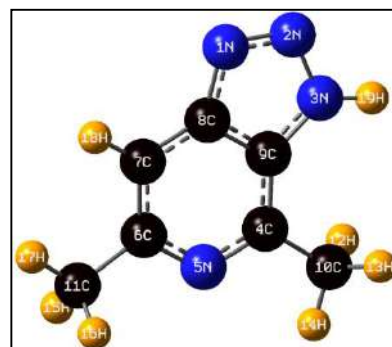
الشكل (2) 3H-4,6-diMTP[4,5-c]



الشكل (1) 1 H-4,6-diMTP[4,5-c]



الشكل (4) 1H-6-MTP[4,5-b]



الشكل (3) 3H-6-MTP[4,5-b]

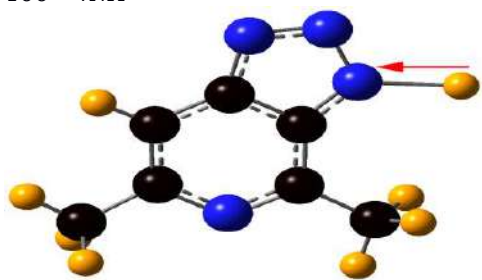
الجدول (1): حساب البارامترات الهندسية للمركب باستخدام دالة الكثافة النظرية عند المستوى **B3LYP/6-31G(d,p)**

Bond length (Å°) and angles (A°)	and	1H-4,6-diMTP (4,5-c)	3H4,6-diMTP (4,5-c)	1H-6-MTP (4,5-b)	3H-6-MTP (4,5-b)
N ₁ -N ₂ / (N ₂ -N ₃)		1.374 A°	A° 1.360	1.372 A°	1.379 A°
N ₁ -C ₈ / (N ₃ -C ₉)		1.360 A°	A° 1.367	1.359 A°	1.362 A°
N ₁ -H ₁₉₍₁₂₎ / (N ₃ -H ₁₉₍₁₂₎)		1.009 A°	A°1.008	1.008 A°	1.009 A°
N ₂ -N ₃ / (N ₁ -N ₂)		1.289 A°	A°1.295	1.289 A°	1.289 A°
N ₃ -C ₉ / (N ₁ -C ₈)		1.381 A°	A°1.382	1.382 A°	1.363 A°
C ₄ -N ₅		1.328 A°	A°1.326	1.325 A°	1.332 A°

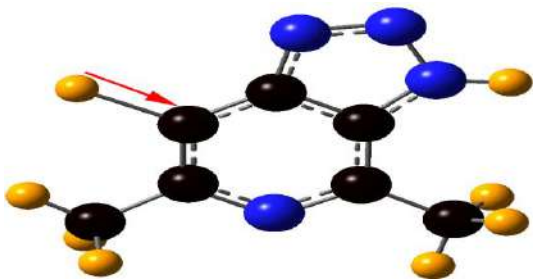
جدول (2): يوضح الانماط الاهتزازية للمركب **1H & 3H 4,6-diMTP** باستخدام دالة الكثافة النظرية عند المستوى **B₃LYP/6-31G(d,p)**

4,6-dimethyl-3H-1,2,3-triazolo[4,5-c]pyridine

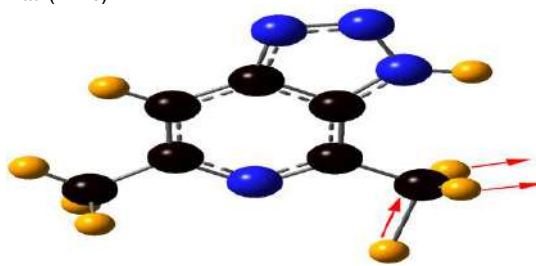
$\nu_1=3530\text{cm}^{-1}$
100 - ν_{NH}



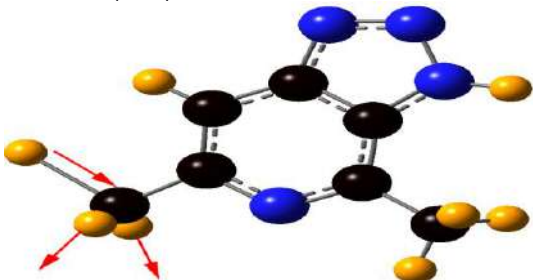
$\nu_2=3093\text{cm}^{-1}$
91 - ν_{CH}



$\nu_3=3035\text{cm}^{-1}$
100 - $\nu_{\text{as}}(\text{CH}_3)$

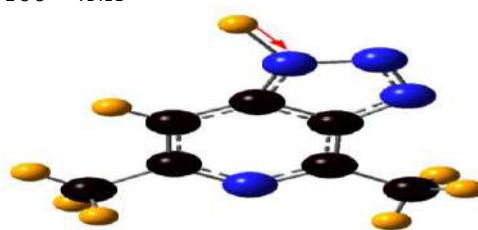


$\nu_4=3012\text{cm}^{-1}$
100 - $\nu_{\text{as}}(\text{CH}_3)$

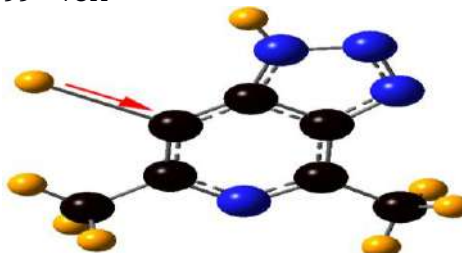


4,6-dimethyl-1H-1,2,3-triazolo[4,5-c]pyridine

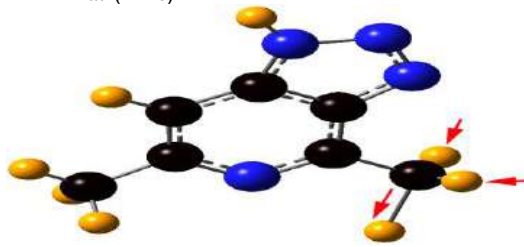
$\nu_1=3528\text{cm}^{-1}$
100 - ν_{NH}



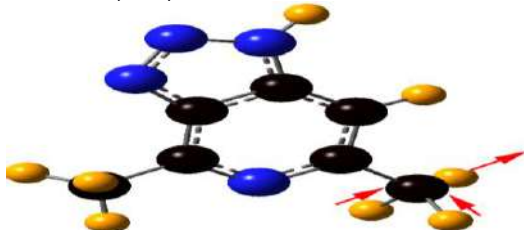
$\nu_2=3083\text{cm}^{-1}$
99 - ν_{CH}



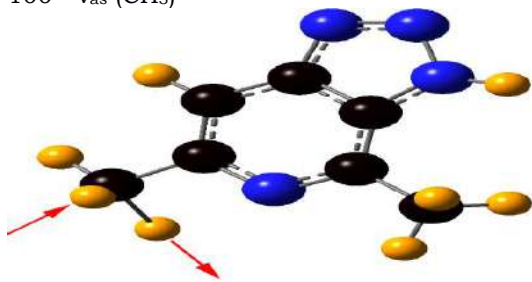
$\nu_3=3037\text{cm}^{-1}$
100 - $\nu_{\text{as}}(\text{CH}_3)$



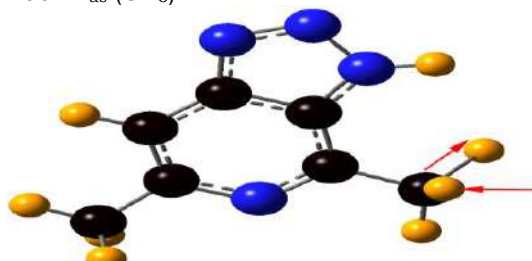
$\nu_4=3012\text{cm}^{-1}$
100 - $\nu_{\text{as}}(\text{CH}_3)$



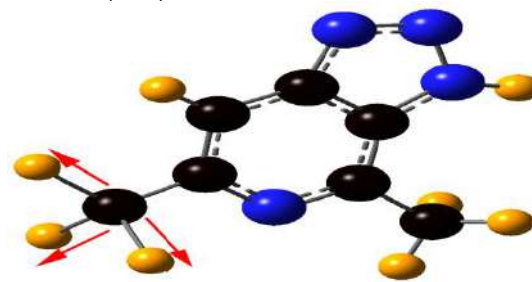
$\nu_5=2987\text{ cm}^{-1}$
100 - ν_{as} (CH₃)



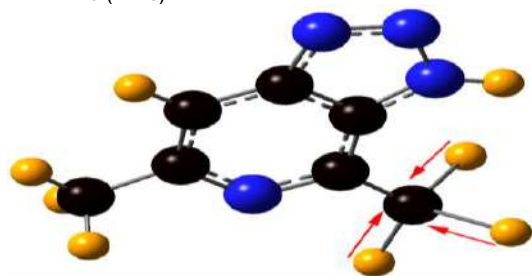
$\nu_6=2965\text{ cm}^{-1}$
100 - ν_{as} (CH₃)



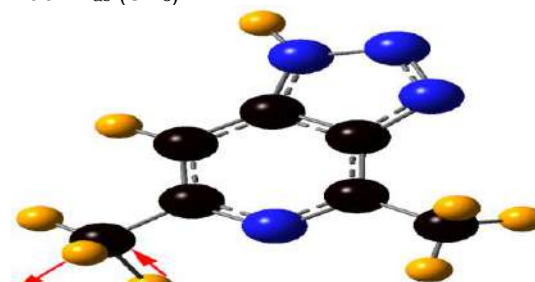
$\nu_7=2928$
100 - ν_s (CH₃)



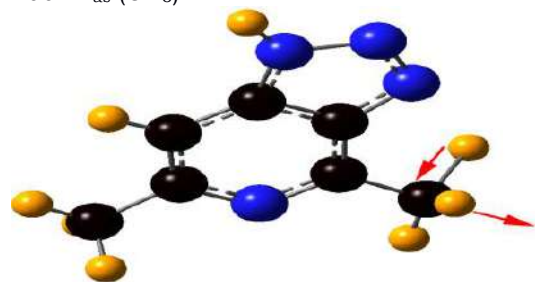
$\nu_8=2914\text{ cm}^{-1}$
100 - ν_s (CH₃)



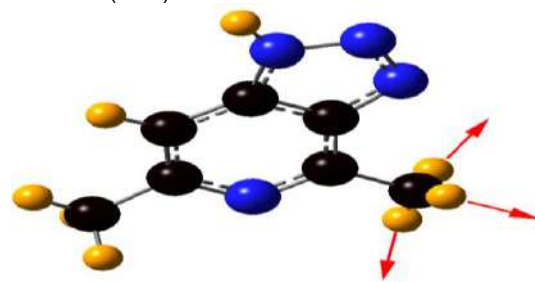
$\nu_5=2989\text{ cm}^{-1}$
100 - ν_{as} (CH₃)



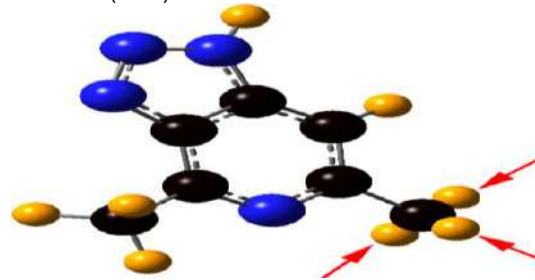
$\nu_6=2986\text{ cm}^{-1}$
100 - ν_{as} (CH₃)



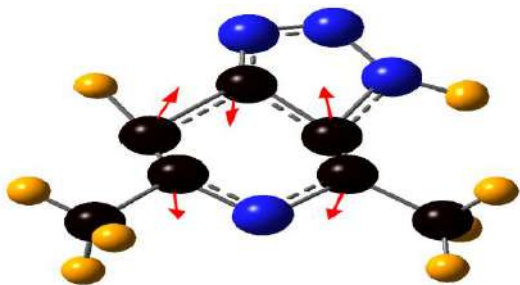
$\nu_7=2931$
100 - ν_s (CH₃)



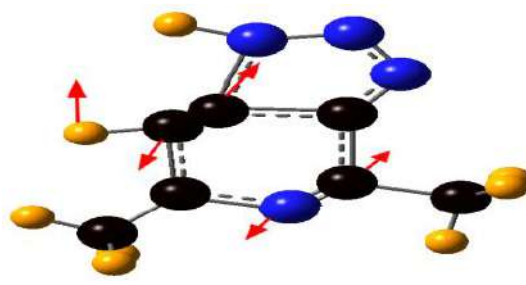
$\nu_8=2929\text{ cm}^{-1}$
100 - ν_s (CH₃)



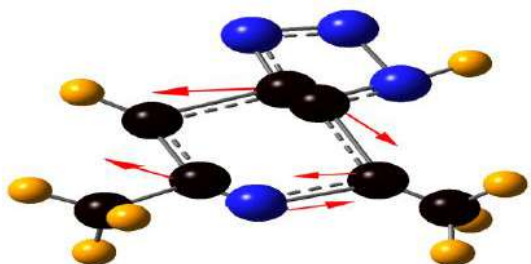
$\nu_9=1625 \text{ cm}^{-1}$
55- $\nu\Phi_P$



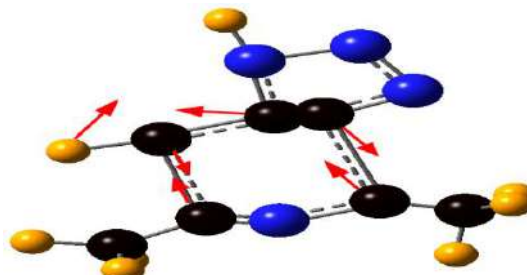
$\nu_9=1632 \text{ cm}^{-1}$
55- $\nu\Phi_P$



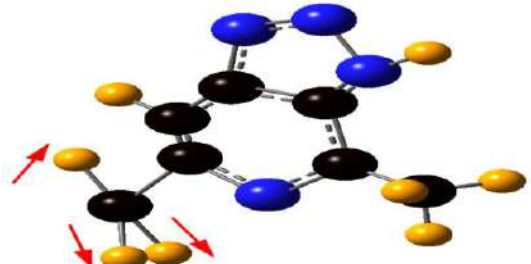
$\nu_{10}=1604 \text{ cm}^{-1}$
60- $\nu\Phi_P+16-\nu\Phi_T$



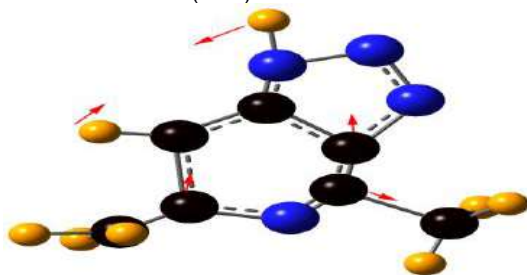
$\nu_{10}=1596 \text{ cm}^{-1}$
53- $\nu\Phi_P+13-\nu\Phi_T$



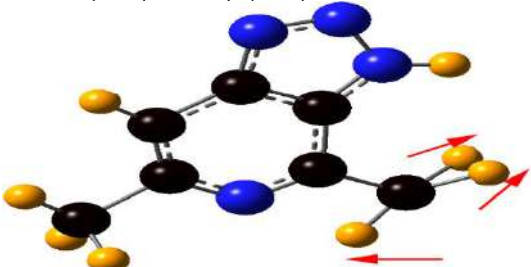
$\nu_{11}=1496 \text{ cm}^{-1}$
24 - $\delta_{as}(\text{CH}_3) + 16-\nu\Phi_P$



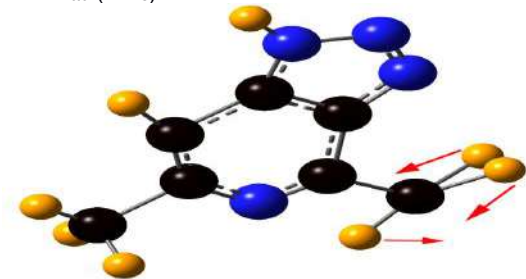
$\nu_{11}=1497 \text{ cm}^{-1}$
36- $\nu\Phi_P + 14-\delta_{as}(\text{CH}_3)$



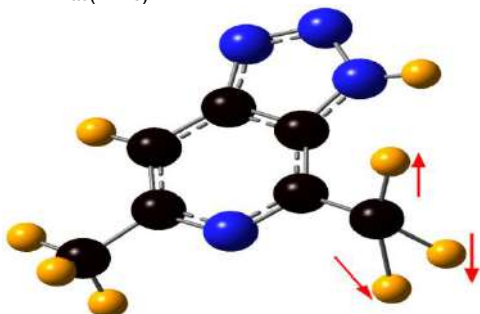
$\nu_{12}=1475 \text{ cm}^{-1}$
67 - $\delta_{as}(\text{CH}_3) + 10 - \rho(\text{CH}_3)$



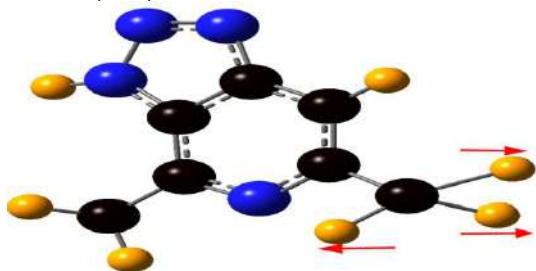
$\nu_{12}=1474 \text{ cm}^{-1}$
54 - $\delta_{as}(\text{CH}_3)$



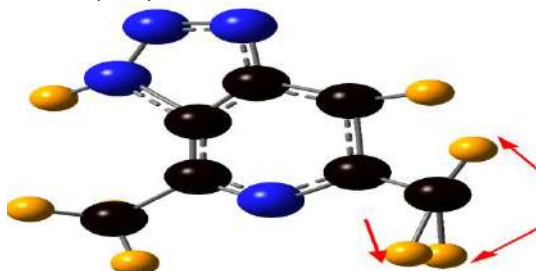
$\nu_{13}=1468 \text{ cm}^{-1}$
 $94 - \delta_{\text{as}}(\text{CH}_3)$



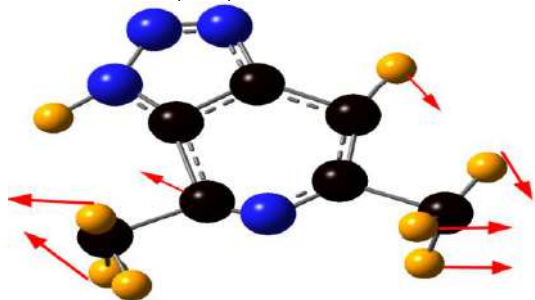
$\nu_{14}=1458 \text{ cm}^{-1}$
 $92 - \delta_{\text{as}}(\text{CH}_3)$



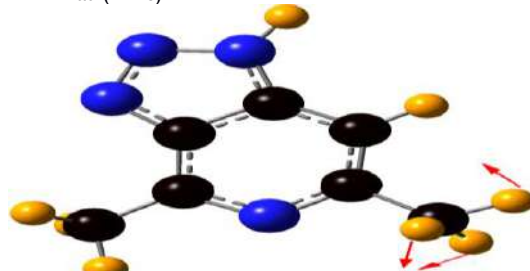
$\nu_{15}=1458 \text{ cm}^{-1}$
 $52 - \delta_{\text{as}}(\text{CH}_3) + 12 - \nu \Phi_{\text{P}}$



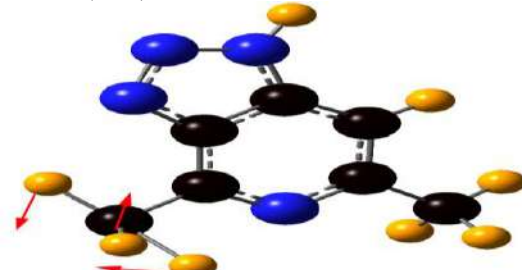
$\nu_{16}=1419 \text{ cm}^{-1}$
 $18 - \nu \Phi_{\text{P}} + 17 - \delta_{\text{as}}(\text{CH}_3) + 11 - \nu \Phi_{\text{T}}$



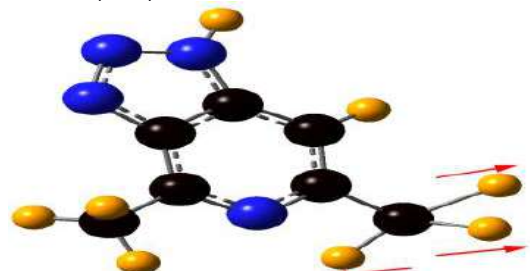
$\nu_{13}=1465 \text{ cm}^{-1}$
 $63 - \delta_{\text{as}}(\text{CH}_3)$



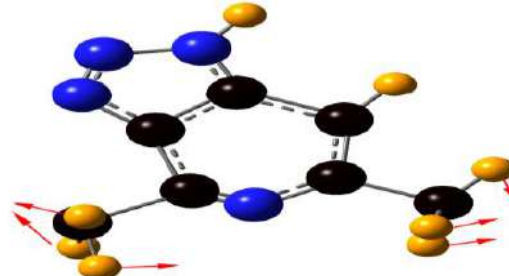
$\nu_{14}=1461 \text{ cm}^{-1}$
 $92 - \delta_{\text{as}}(\text{CH}_3)$



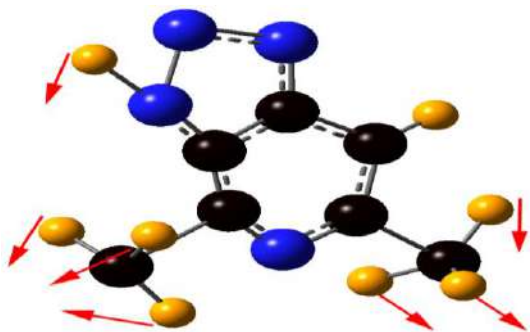
$\nu_{15}=1456 \text{ cm}^{-1}$
 $92 - \delta_{\text{as}}(\text{CH}_3)$



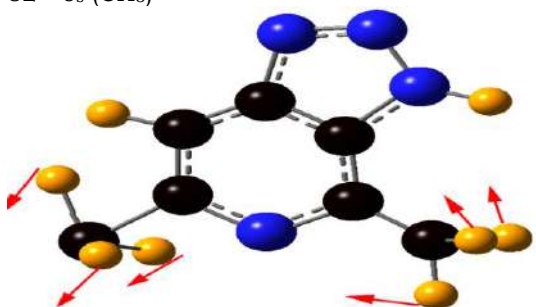
$\nu_{16}=1423 \text{ cm}^{-1}$
 $31 - \delta_{\text{as}}(\text{CH}_3) + 11 - \nu \Phi_{\text{T}} + 23 - \nu \Phi_{\text{P}}$



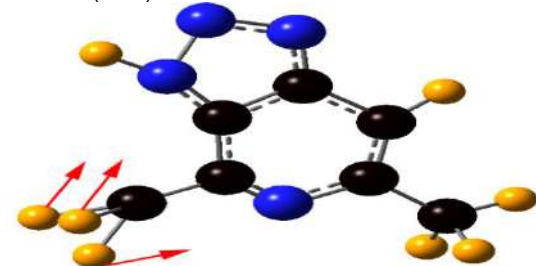
$\nu_{17}=1408 \text{ cm}^{-1}$
 $26 - \delta_s (\text{CH}_3) + 20 - \delta \text{ NH} + 13 - \nu \Phi_T + 12 - \nu (\text{C}-\text{CH}_3)$



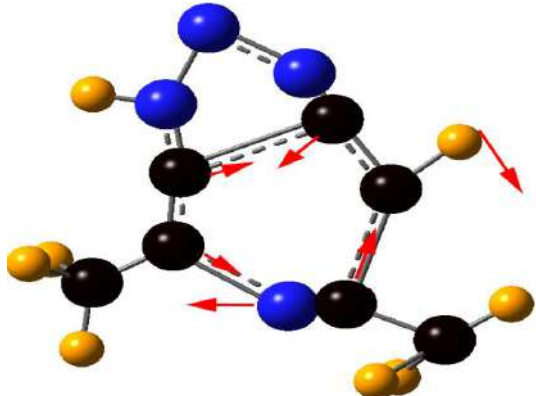
$\nu_{18}=1394 \text{ cm}^{-1}$
 $82 - \delta_s (\text{CH}_3)$



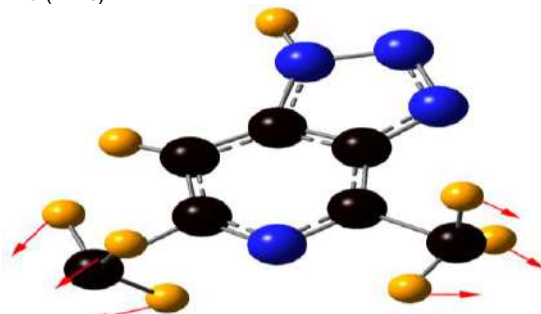
$\nu_{19}=1383 \text{ cm}^{-1}$
 $65 - \delta_s (\text{CH}_3) + 12 - \nu \Phi_P$



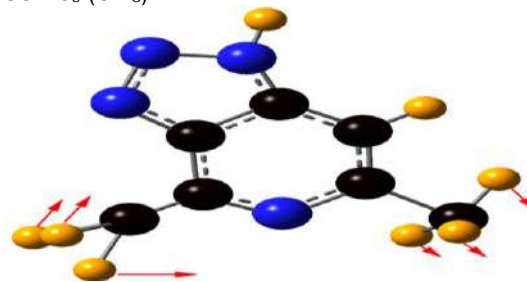
$\nu_{20}=1348 \text{ cm}^{-1}$
 $41 - \nu \Phi_P + 21 - \nu \Phi_T$



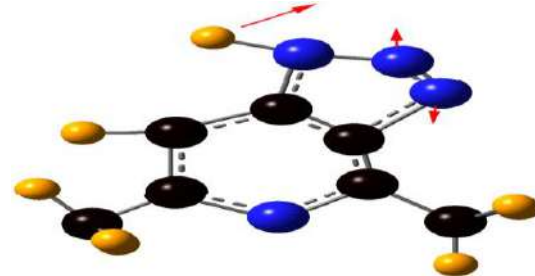
$\nu_{17}=1400 \text{ cm}^{-1}$
 $73 - \delta_s (\text{CH}_3)$



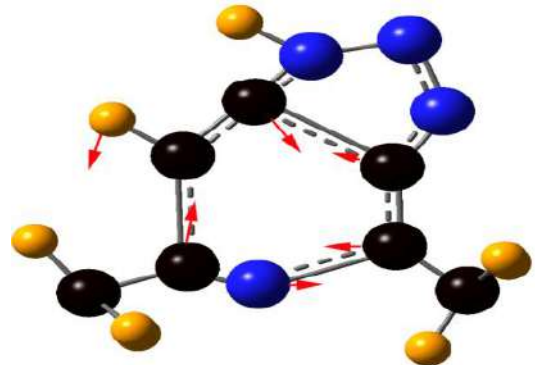
$\nu_{18}=1391 \text{ cm}^{-1}$
 $86 - \delta_s (\text{CH}_3)$



$\nu_{19}=1372 \text{ cm}^{-1}$
 $21 - \nu \Phi_T + 19 - \delta \text{ NH} + 10 - \delta \Phi_T$

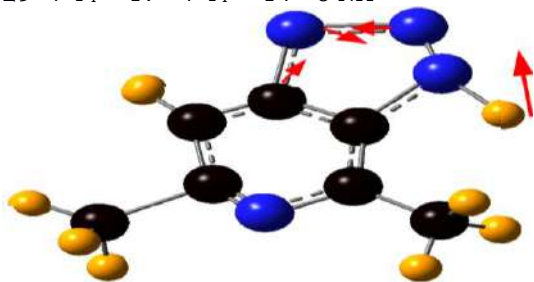


$\nu_{20}=1352 \text{ cm}^{-1}$
 $41 - \nu \Phi_P + 21 - \nu \Phi_T$



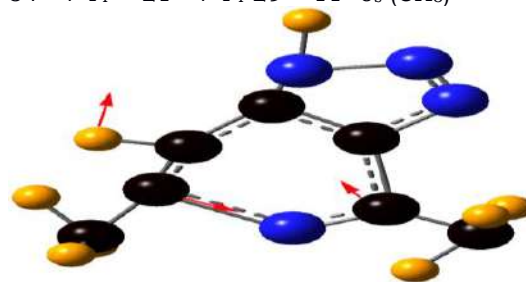
$$\nu_{21}=1307 \text{ cm}^{-1}$$

$$29-\nu \Phi_T + 17-\nu \Phi_P + 14-\delta \text{ NH}$$



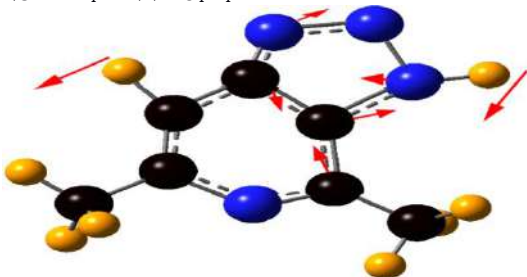
$$\nu_{21}=1339 \text{ cm}^{-1}$$

$$34-\nu \Phi_P + 21-\nu \Phi_T + 11-\delta_s (\text{CH}_3)$$



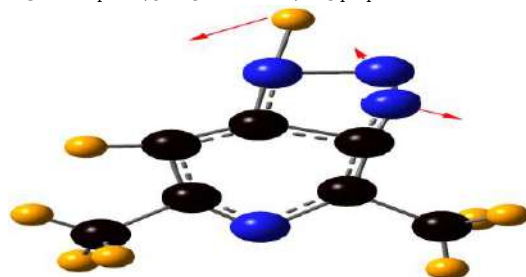
$$\nu_{22}=1277 \text{ cm}^{-1}$$

$$23-\nu \Phi_T + 22-\delta_T \Phi_P$$



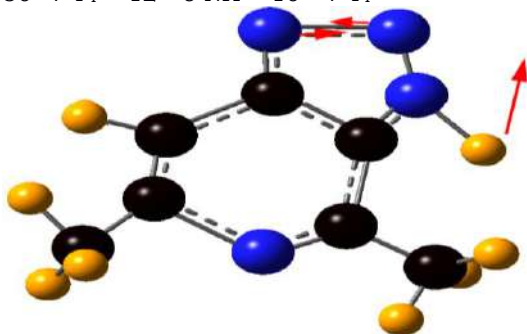
$$\nu_{22}=1284 \text{ cm}^{-1}$$

$$43-\nu \Phi_T + 20-\delta \text{ NH} + 12-\delta_T \Phi_P$$



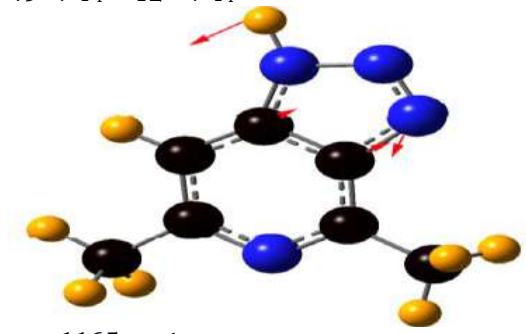
$$\nu_{23}=1235 \text{ cm}^{-1}$$

$$30-\nu \Phi_T + 12-\delta \text{ NH} + 10-\nu \Phi_P$$



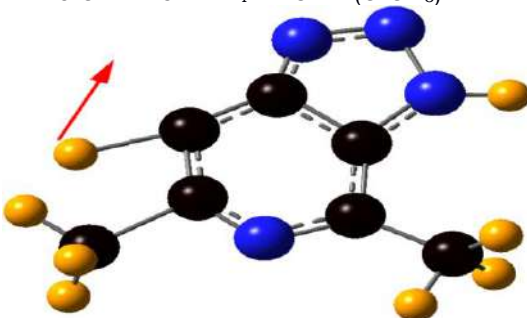
$$\nu_{23}=1224 \text{ cm}^{-1}$$

$$49-\nu \Phi_T + 12-\nu \Phi_P$$



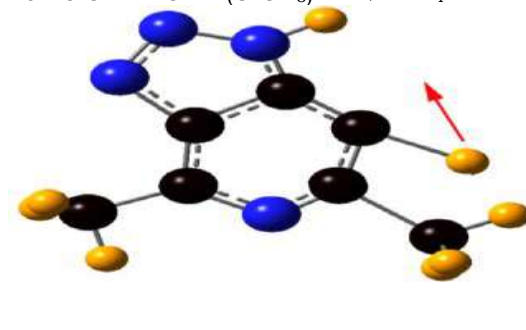
$$\nu_{24}=1158 \text{ cm}^{-1}$$

$$44-\delta \text{ CH} + 15-\nu \Phi_T + 13-\nu (\text{C-CH}_3)$$

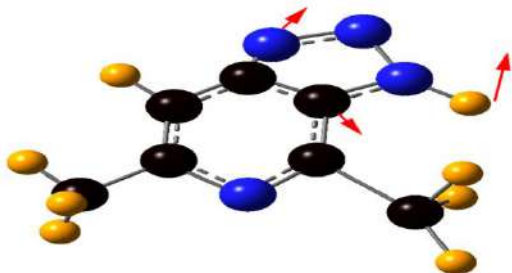


$$\nu_{24}=1165 \text{ cm}^{-1}$$

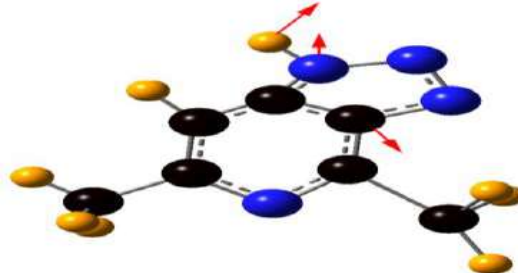
$$40-\delta \text{ CH} + 18-\nu (\text{C-CH}_3) + 12-\nu \Phi_P$$



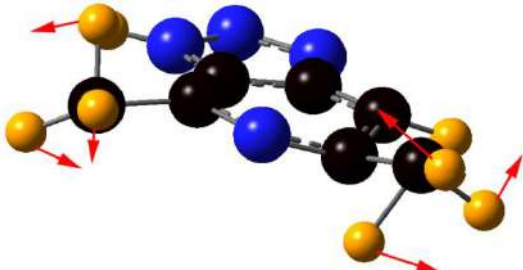
$\nu_{25}=1112 \text{ cm}^{-1}$
 $24 - \nu \Phi_T + 17 - \rho (\text{CH}_3) + 16 - \nu (\text{C-CH}_3)$



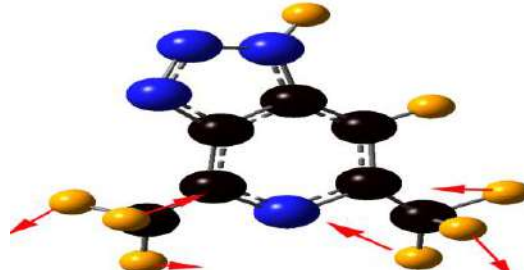
$\nu_{25}=1119 \text{ cm}^{-1}$
 $17 - \nu (\text{C-CH}_3) + 18 - \nu \Phi_T + 14 - \rho (\text{CH}_3)$



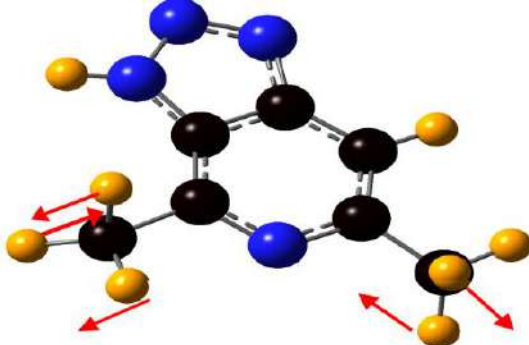
$\nu_{26}=1069 \text{ cm}^{-1}$
 $78 - \rho (\text{CH}_3)$



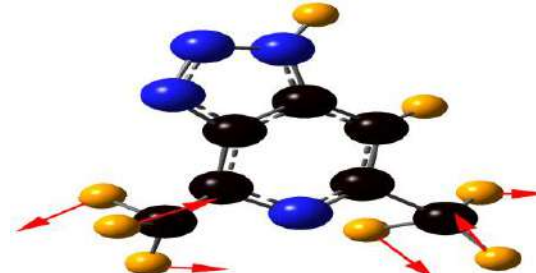
$\nu_{26}=1067 \text{ cm}^{-1}$
 $73 - \rho (\text{CH}_3)$



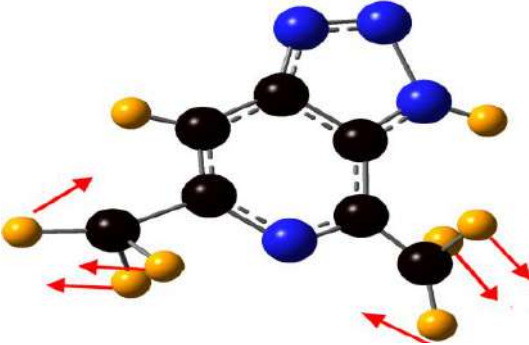
$\nu_{27}=1055 \text{ cm}^{-1}$
 $82 - \rho (\text{CH}_3)$



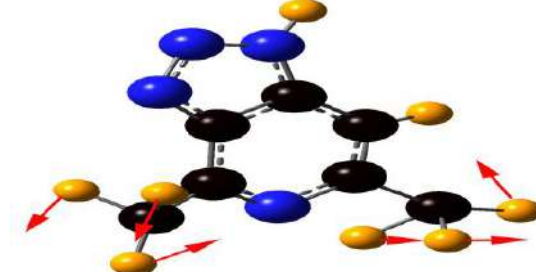
$\nu_{27}=1054 \text{ cm}^{-1}$
 $79 - \rho (\text{CH}_3)$



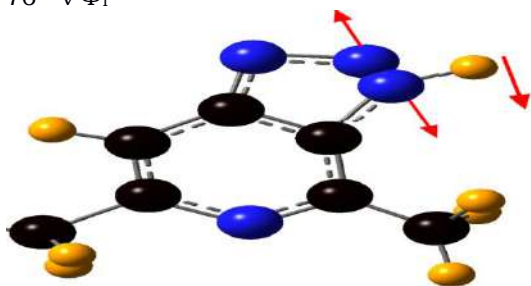
$\nu_{28}=1049 \text{ cm}^{-1}$
 $49 - \rho (\text{CH}_3) + 13 - \nu \Phi_T$



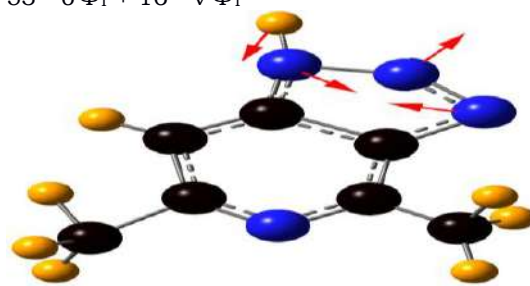
$\nu_{28}=1048 \text{ cm}^{-1}$
 $55 - \rho (\text{CH}_3)$



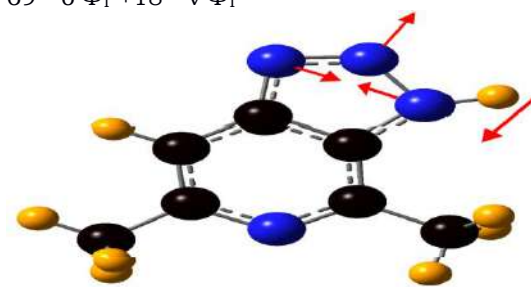
$\nu_{29}=1032 \text{ cm}^{-1}$
 $76 - \nu \Phi_T$



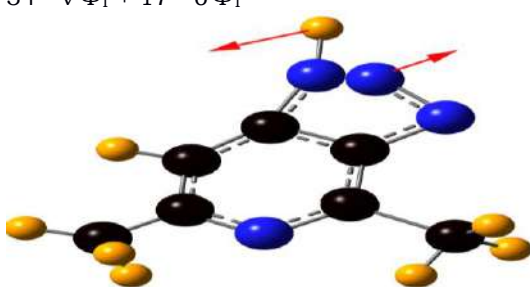
$\nu_{29}=1012 \text{ cm}^{-1}$
 $53 - \delta \Phi_T + 16 - \nu \Phi_T$



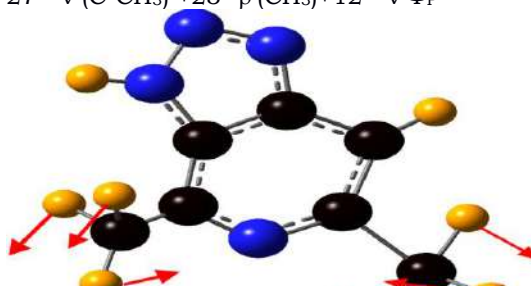
$\nu_{30}=1009 \text{ cm}^{-1}$
 $69 - \delta \Phi_T + 18 - \nu \Phi_T$



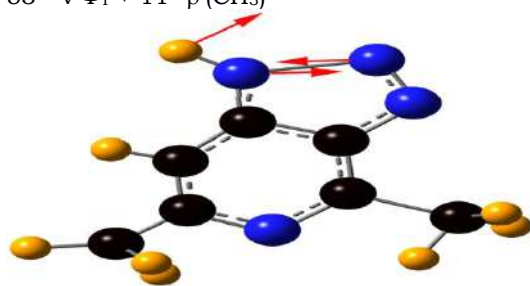
$\nu_{30}=1001 \text{ cm}^{-1}$
 $34 - \nu \Phi_T + 17 - \delta \Phi_T$



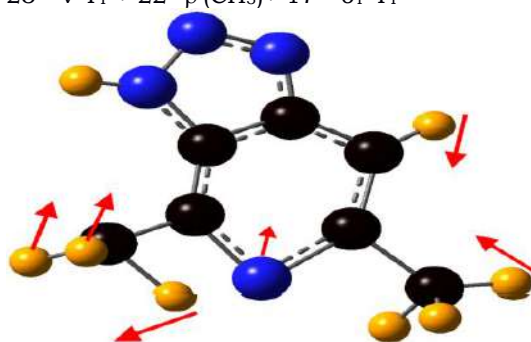
$\nu_{31}=995 \text{ cm}^{-1}$
 $27 - \nu (\text{C-CH}_3) + 23 - \rho (\text{CH}_3) + 12 - \nu \Phi_P$



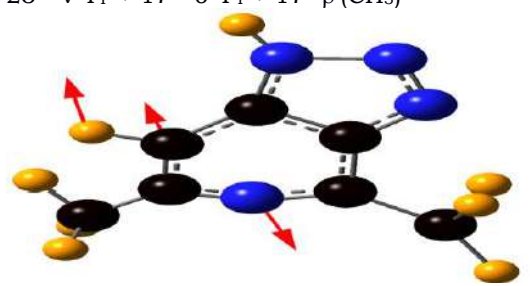
$\nu_{31}=982 \text{ cm}^{-1}$
 $53 - \nu \Phi_T + 11 - \rho (\text{CH}_3)$



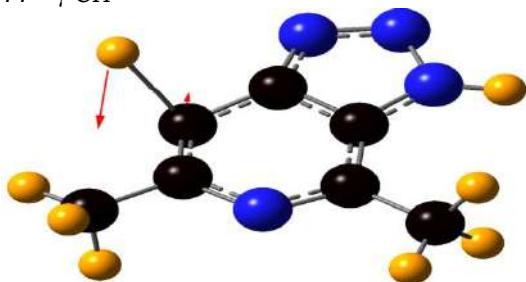
$\nu_{32}=948 \text{ cm}^{-1}$
 $23 - \nu \Phi_P + 22 - \rho (\text{CH}_3) + 17 - \delta_T \Phi_P$



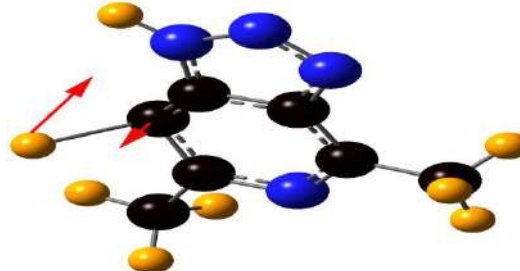
$\nu_{32}=954 \text{ cm}^{-1}$
 $23 - \nu \Phi_P + 17 - \delta \Phi_T + 17 - \rho (\text{CH}_3)$



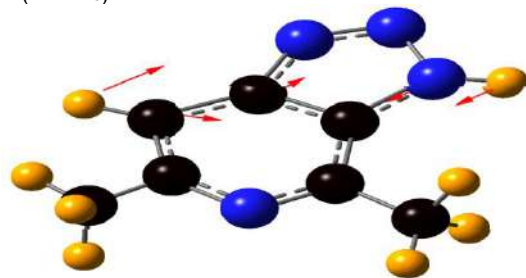
$\nu_{33}=884 \text{ cm}^{-1}$
77 - γ CH



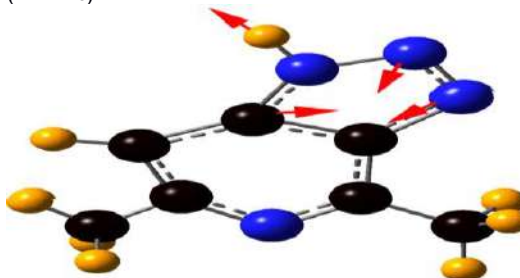
$\nu_{33}=843 \text{ cm}^{-1}$
81 - γ CH



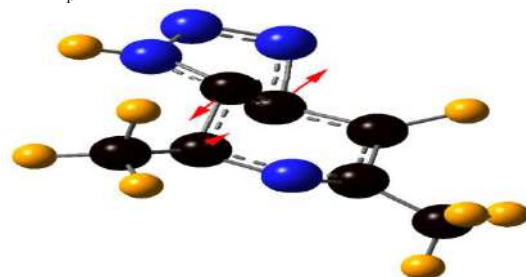
$\nu_{34}=835 \text{ cm}^{-1}$
20 - $\delta \Phi_T + 17 - \delta_T \Phi_P + 12 - \nu \Phi_T + 14 - \nu \Phi_P + 11 - \nu$ (C-CH₃)



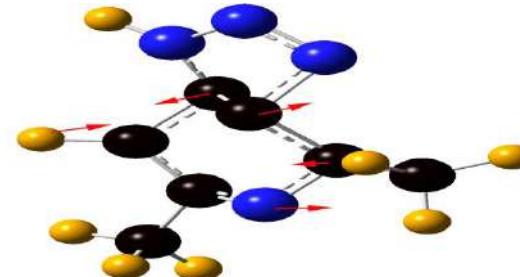
$\nu_{34}=823 \text{ cm}^{-1}$
20- $\tau \Phi_T + 17 - \delta \Phi_P + 15 - \nu \Phi_T + 13 - \nu \Phi_P + 10 - \nu$ (C-CH₃)



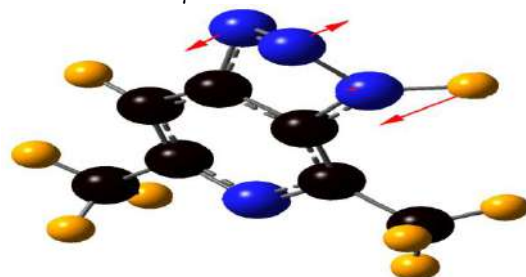
$\nu_{35}=788 \text{ cm}^{-1}$
45 - $\tau_P \Phi_P + 40 - \tau \Phi_T$



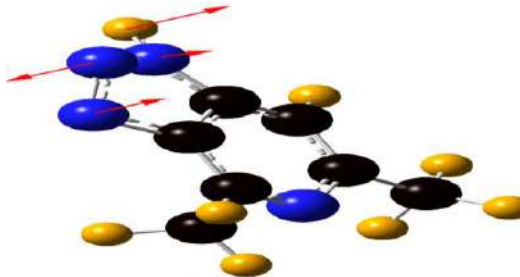
$\nu_{35}=795 \text{ cm}^{-1}$
41 - $\tau \Phi_T + 47 - \tau \Phi_P$



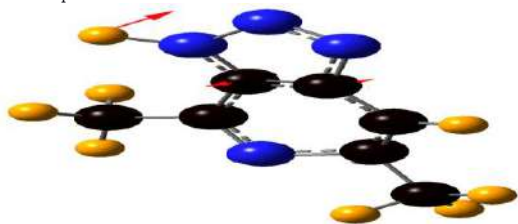
$\nu_{36}=706 \text{ cm}^{-1}$
71 - $\tau \Phi_T + 15 - \gamma$ NH



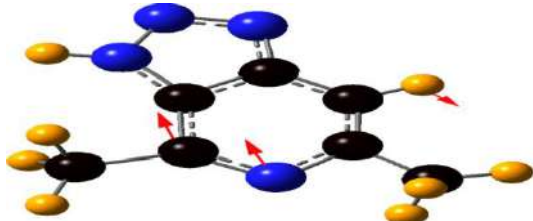
$\nu_{36}=702 \text{ cm}^{-1}$
71 - $\tau \Phi_T + 16 - \gamma$ NH



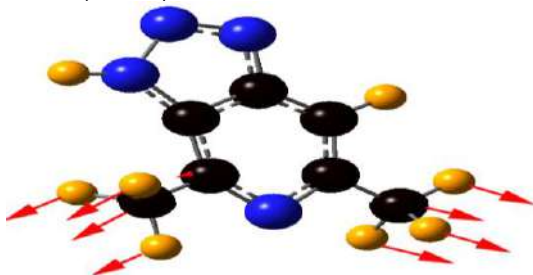
$\nu_{37}=647 \text{ cm}^{-1}$
 $25 - \tau_P \Phi_P + 24 - \tau \Phi_P + 27 - \tau \Phi_T$



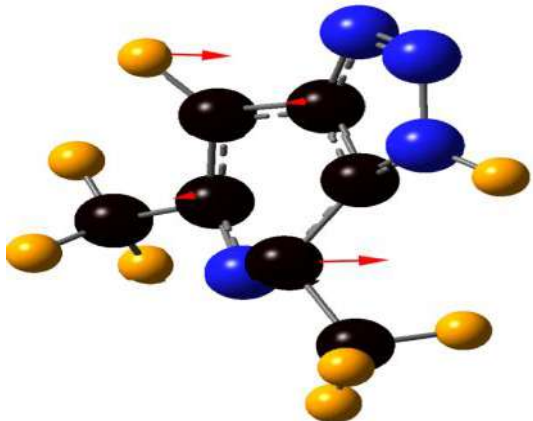
$\nu_{38}=629 \text{ cm}^{-1}$
 $24 - \nu \Phi_P + 22 - \delta \Phi_T + 12 - \delta \Phi_P$



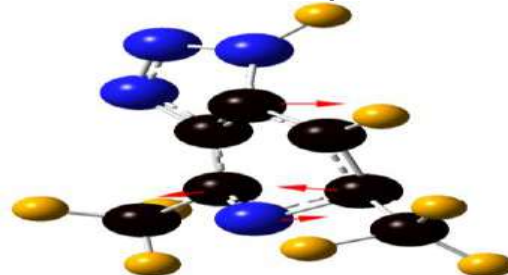
$\nu_{39}=592 \text{ cm}^{-1}$
 $38 - \nu(\text{C-CH}_3) + 20 - \delta_T \Phi_P$



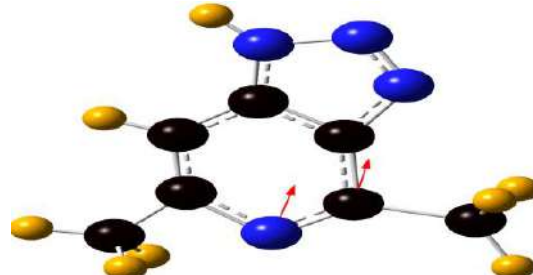
$\nu_{40}=554 \text{ cm}^{-1}$
 $46 - \tau \Phi_P + 14 - \gamma(\text{C-CH}_3)$



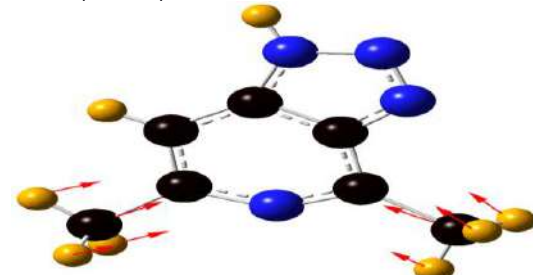
$\nu_{37}=651 \text{ cm}^{-1}$
 $34 - \tau \Phi_P + 27 - \tau \Phi_T + 24 - \tau_P \Phi_P$



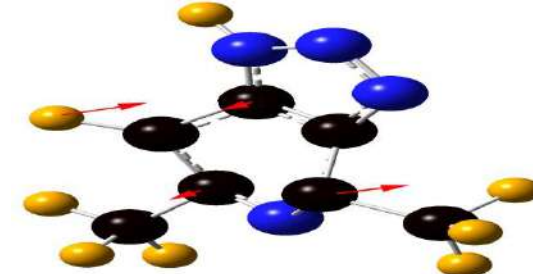
$\nu_{38}=634 \text{ cm}^{-1}$
 $26 - \nu \Phi_P + 23 - \delta \Phi_T + 11 - \delta \Phi_P$



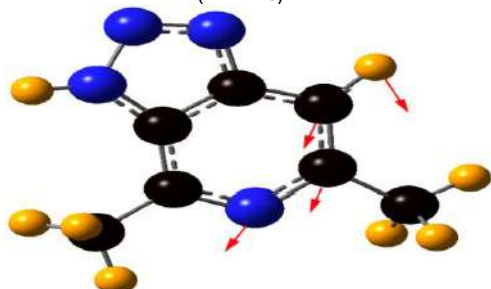
$\nu_{39}=596 \text{ cm}^{-1}$
 $36 - \nu(\text{C-CH}_3) + 21 - \delta_T \Phi_P$



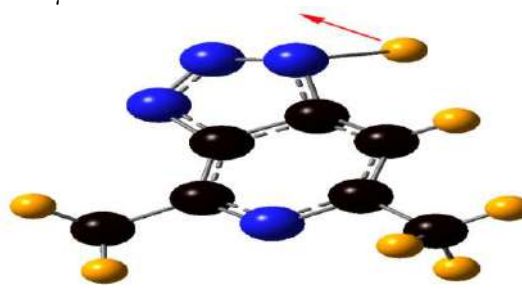
$\nu_{40}=566 \text{ cm}^{-1}$
 $51 - \tau \Phi_P + 17 - \gamma(\text{C-CH}_3)$



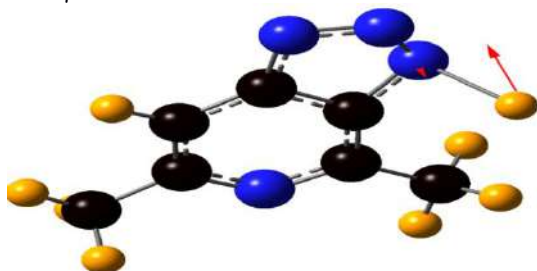
$\nu_{41}=497 \text{ cm}^{-1}$
 $42 - \delta \Phi_P + 12 - \delta (\text{C-CH}_3) + 11 - \nu \Phi_T$



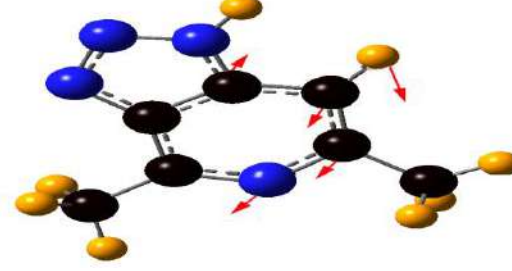
$\nu_{41}=498 \text{ cm}^{-1}$
 $74 - \gamma \text{ NH}$



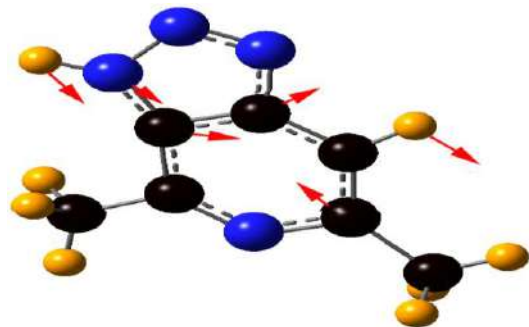
$\nu_{42}=476 \text{ cm}^{-1}$
 $74 - \gamma \text{ NH} + 20 - \tau \Phi_T$



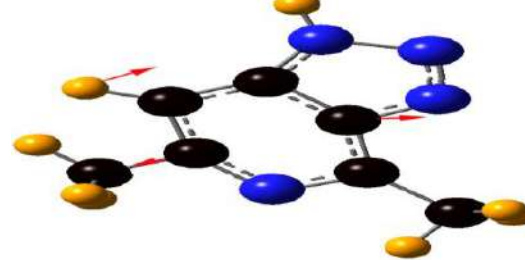
$\nu_{42}=496 \text{ cm}^{-1}$
 $47 - \tau \Phi_P + 13 - \delta (\text{C-CH}_3)$



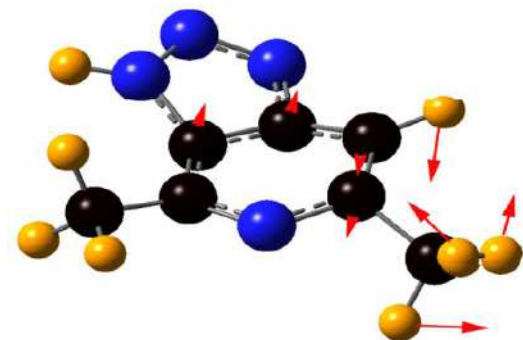
$\nu_{43}=472 \text{ cm}^{-1}$
 $57 - \delta \Phi_P$



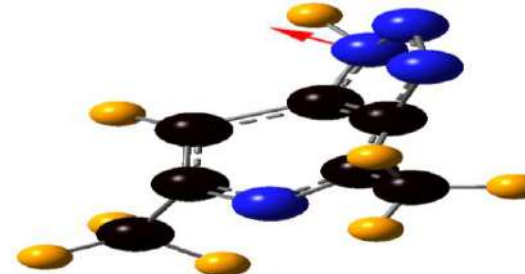
$\nu_{43}=475 \text{ cm}^{-1}$
 $58 - \delta \Phi_P + 10 - \nu (\text{C-CH}_3)$



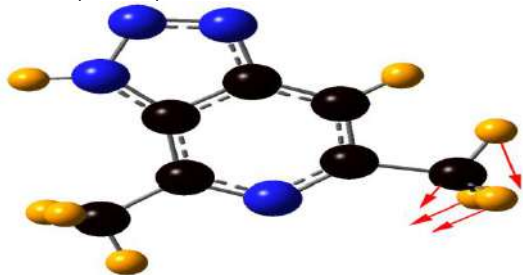
$\nu_{44}=356 \text{ cm}^{-1}$
 $29 - \gamma (\text{C-CH}_3) + 28 - \tau \Phi_P / \Phi_T + 20 - \tau \Phi_T + 14 - \tau \Phi_P$



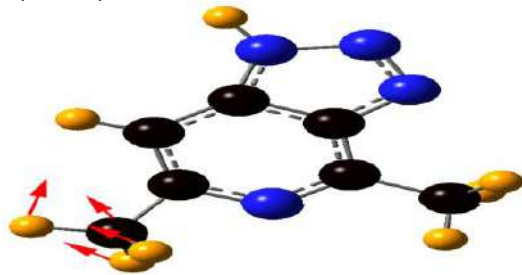
$\nu_{44}=342 \text{ cm}^{-1}$
 $29 - \tau \Phi_T + 25 - \gamma (\text{C-CH}_3) + 21 - \tau \Phi_P / \Phi_T$



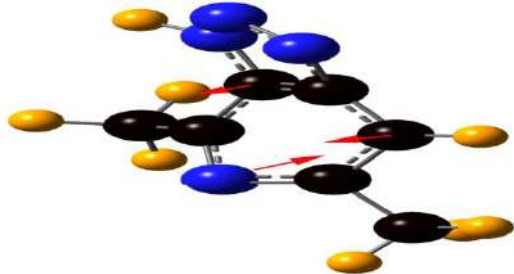
$\nu_{45}=294 \text{ cm}^{-1}$
63 - δ (C-CH₃)



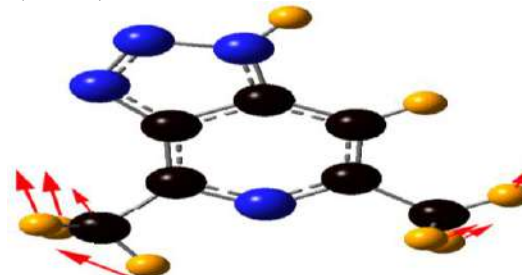
$\nu_{45}=298 \text{ cm}^{-1}$
63 - δ (C-CH₃)



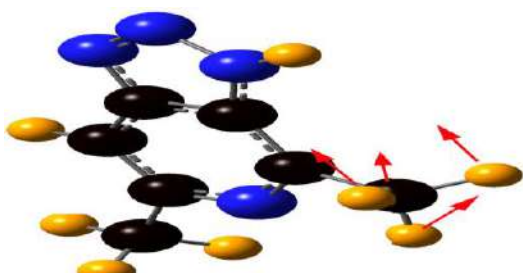
$\nu_{46}=257 \text{ cm}^{-1}$
40 - τ Φ_P + 19 - τ Φ_P / Φ_T + 15 - γ (C-CH₃)



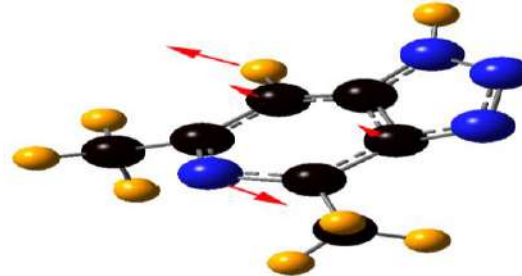
$\nu_{46}=256 \text{ cm}^{-1}$
61 - δ (C-CH₃) + 12 - δ Φ_P



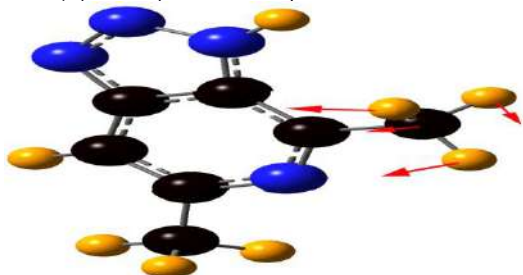
$\nu_{47}=253 \text{ cm}^{-1}$
61 - δ (C-CH₃) + 12 - δ Φ_P



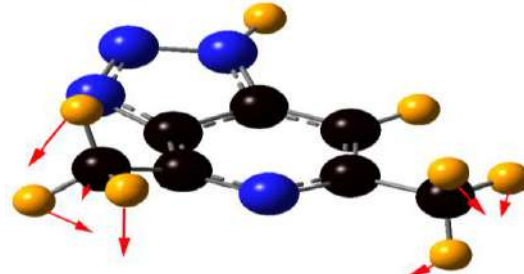
$\nu_{47}=255 \text{ cm}^{-1}$
39 - τ Φ_P + 22 - τ Φ_P / Φ_T + 14 - γ (C-CH₃)



$\nu_{48}=177 \text{ cm}^{-1}$
61 - γ (C-CH₃) + 19 - τ Φ_P / Φ_T

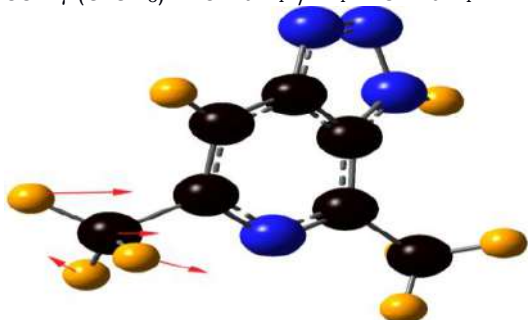


$\nu_{48}=181 \text{ cm}^{-1}$
60 - γ (C-CH₃) + 21 - τ Φ_P / Φ_T



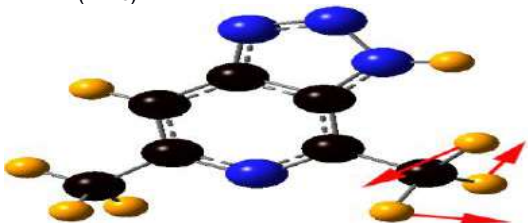
$\nu_{49}=135 \text{ cm}^{-1}$

$33 - \gamma (\text{C-CH}_3) + 16 - \tau \Phi_P / \Phi_T + 31 - \tau \Phi_P$



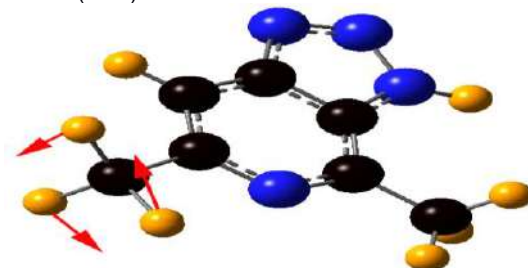
$\nu_{50}=94 \text{ cm}^{-1}$

$96 - \tau (\text{CH}_3)$



$\nu_{51}=90 \text{ cm}^{-1}$

$89 - \tau (\text{CH}_3)$



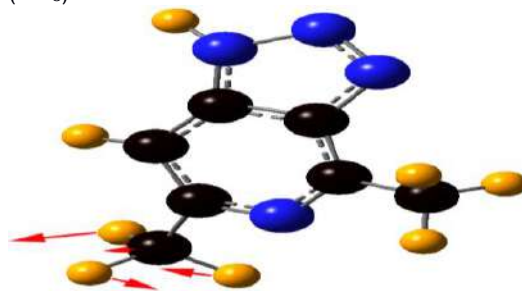
. a ● = carbon atom, ● = hydrogen atom, ● = nitrogen atom

b uniform scaling factor $f=0.96$ for $\nu_1 - \nu_8$; $f=0.98$ for $\nu_9 - \nu_{25}$; $f=1.00$ for $\nu_{26} - \nu_{52}$

c in-plane vibrations: ν - stretching, δ - bending, δ_T - trigonal def., out-of plane vibrations: γ - bending, τ - torsion, τ_p - puckering; ρ - rocking, Φ_P - pyridine ring, Φ_T - triazole ring.

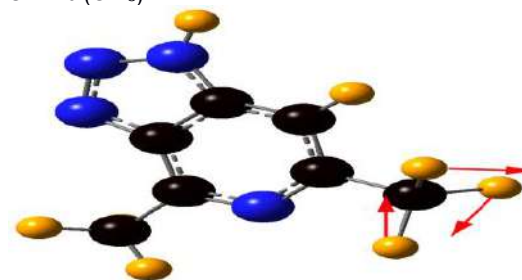
$\nu_{49}=134 \text{ cm}^{-1}$

$32 - \gamma (\text{C-CH}_3) + 13 - \tau \Phi_P / \Phi_T + 29 - \tau \Phi_P + 12 - \tau (\text{CH}_3)$



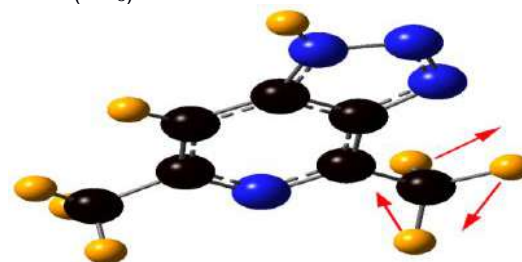
$\nu_{50}=92 \text{ cm}^{-1}$

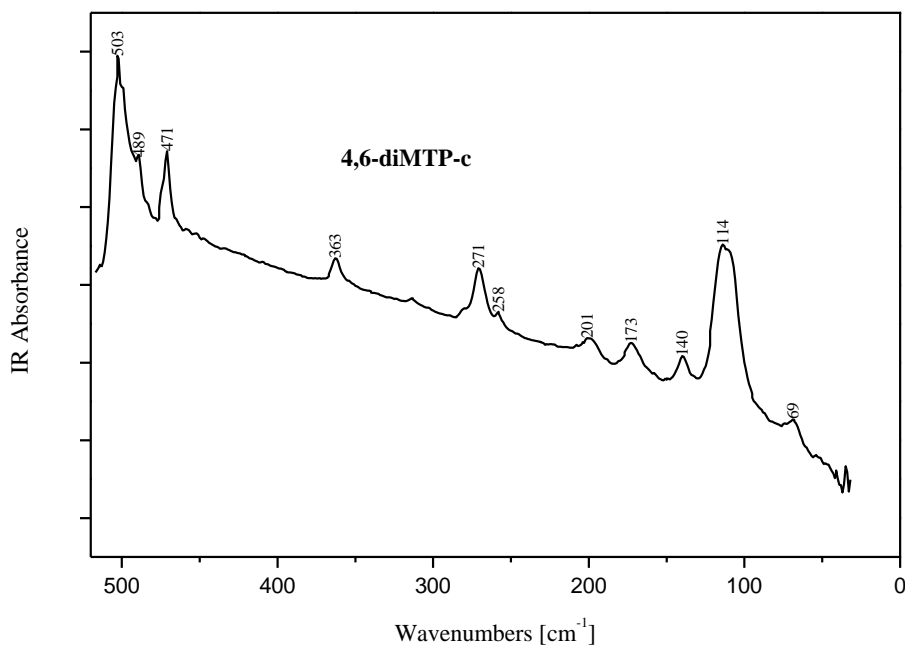
$87 - \tau (\text{CH}_3)$



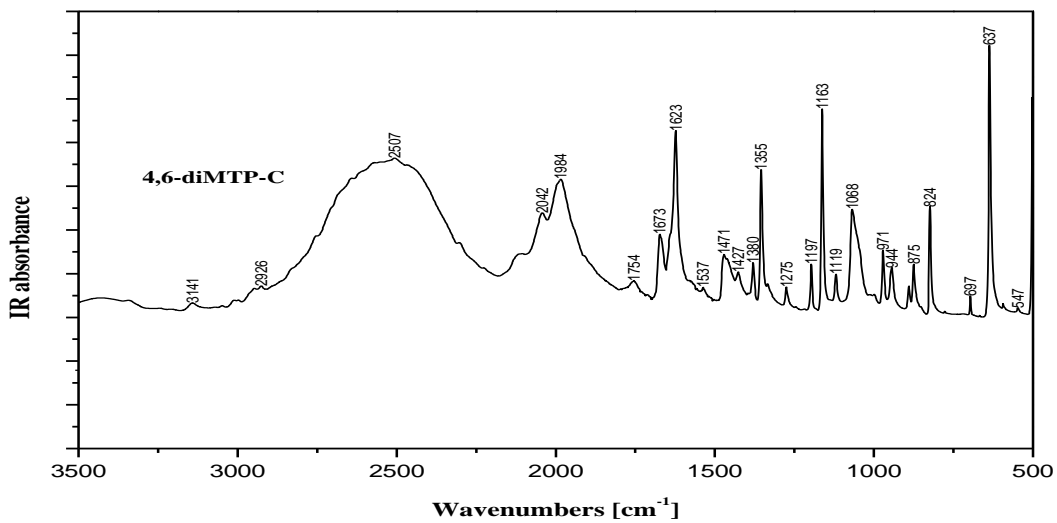
$\nu_{51}=34 \text{ cm}^{-1}$

$96 - \tau (\text{CH}_3)$

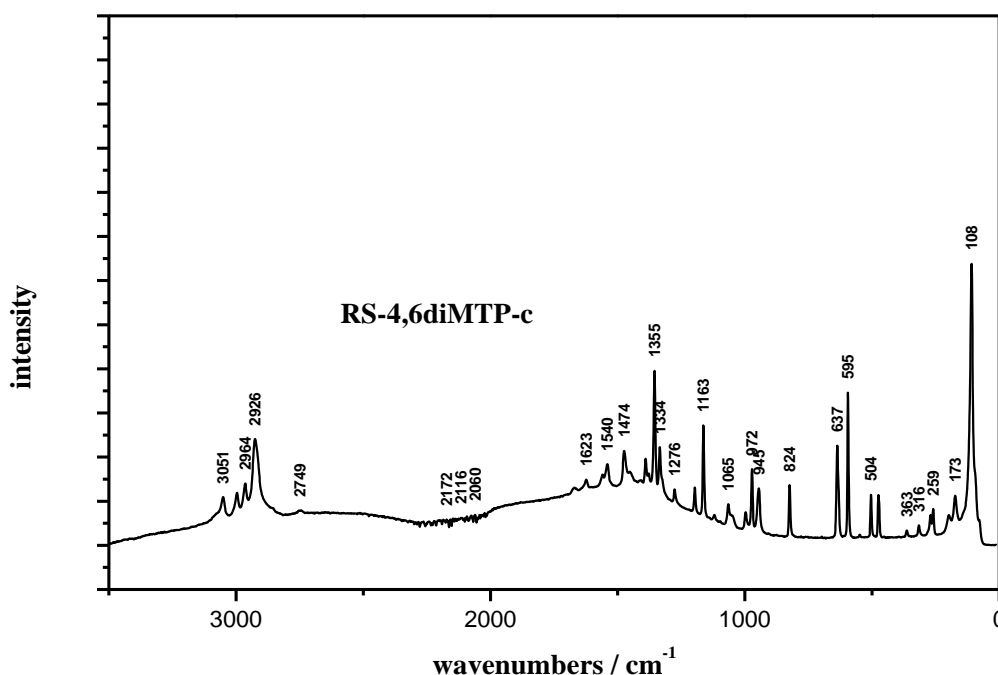




الشكل (5): اطياف الأشعة تحت الحمراء لـ 4,6-diMTP-c في المدى من 4000-500 سم⁻¹



الشكل (6): اطياف الأشعة تحت الحمراء لـ 4,6-diMTP-c في المدى من 4000-500 سم⁻¹



الشكل (7): اطياف رامان 4,6-diMTP-c في المدى من 4000-0 سم⁻¹

المناقشة:

كخليط من الاهتزازات بالنسبة للمتشاكل 1H- عند $\nu_{10}, \nu_{11}, \nu_{16}$ عند $\nu_{10}, \nu_{11}, \nu_{15}, \nu_{16}, \nu_{19}, \nu_{20}, \nu_{23}, \nu_{31}, \nu_{32}, \nu_{34}, \nu_{38}$ [13]. وحلقة الترايزول يحدث لها تمدد متمائل ($\nu-\Phi_T$) عند ν_{29} بنسبة 76% للمتشاكل 3H-، اما بقية امتداداته تكون كخليط من الاهتزازات عند $\nu_{10}, \nu_{16}, \nu_{17}, \nu_{20}, \nu_{21}, \nu_{22}, \nu_{23}, \nu_{24}, \nu_{25}, \nu_{28}, \nu_{29}, \nu_{30}, \nu_{34}, \nu_{41}$ للمتشاكل 1H- تظهر فتظهر جميعها كخليط من الاهتزازات عند $\nu_{10}, \nu_{16}, \nu_{19}, \nu_{20}, \nu_{21}, \nu_{22}, \nu_{23}, \nu_{25}, \nu_{29}, \nu_{30}, \nu_{31}, \nu_{34}$ [14]. اما الانحاء تكون لمجموعة CH₃ نوعين من الانحاء للمتشاكلين، متمائل δ_s -CH₃ يظهر عند $\nu_{17}, \nu_{18}, \nu_{21}$ ، وغير المتمائل δ_{as} -CH₃ يظهر عند $\nu_{11}, \nu_{12}, \nu_{13}, \nu_{14}, \nu_{15}, \nu_{16}$. والانحاء لحلقة البيريدين ($\delta-\Phi_P$) يظهر عند $\nu_{34}, \nu_{38}, \nu_{43}, \nu_{46}$ للمتشاكل 1H- وعند $\nu_{38}, \nu_{41}, \nu_{43}, \nu_{47}$ للمتشاكل 3H-، ولحلقة الترايزول ($\delta-\Phi_T$) عند $\nu_{19}, \nu_{29}, \nu_{30}, \nu_{32}, \nu_{38}$ للمتشاكل 1H- وعند $\nu_{30}, \nu_{34}, \nu_{38}$ للمتشاكل 3H- . الحركة الاهتزازية ثلاثية التماثل تحدث في حلقة البيريدين (δ_T) فقط عند ν_{22}, ν_{39} للمتشاكل 1H- وعند $\nu_{22}, \nu_{32}, \nu_{39}, \nu_{34}$ للمتشاكل 3H-.

مركب 4,6-diMTP صيغته الجزيئية C₇H₈N₄ ووفقا للقانون (3N) الخاص بحساب الحركات الاهتزازية الانتقالية والدورانية لديه 57 حركة، منها 3 حركات انتقالية، و3 حركات دورانية، اي له 51 حركة اهتزازية ووفقا للقانون (3N-6) [11]. هذه الاهتزازات تشمل 34 حركة اهتزازية في مستوى الحلقة out-of-plane و14 حركة اهتزازية خارج مستوى الحلقة in-plane، و3 حركات اهتزازية عبارة عن مزيج من الحركات في مستوى الحلقة وخارج مستوى الحلقة بالنسبة للمتشاكل 1H-، اما للمتشاكل 3H- فيوجد 36 حركة اهتزازية في مستوى الحلقة in-plane و12 حركة اهتزازية خارج مستوى الحلقة out-of-plane و3 حركات اهتزازية عبارة عن مزيج من الحركات في مستوى الحلقة وخارج مستوى الحلقة [12]. والحركات الاهتزازية في مستوى الحلقة in-plane يوجد منها 3 انواع؛ تمدد ν -stretching، انحاء δ -bending، وحركة اهتزازية ثلاثية التماثل δ_T -trigonal def. وكما هو موضح في الجدول (2) فمجموعة NH تظهر تمدد متمائل عند ν_1 ومجموعة CH تظهر تمدد متمائل عند ν_2 ، اما مجموعة CH₃ تظهر تمدد متمائل 3 عند ν_7, ν_8 وتمدد غير متمائل ν_{as} -CH₃ عند $\nu_3, \nu_4, \nu_5, \nu_6$ ، اما حلقة البيريدين فيحدث لها تمدد متمائل ($\nu-\Phi_P$) عند ν_9 بنسبة 55% اما بقية الامتدادات فتظهر

- والاهتزازات خارج مستوى الحلقة out-of plane يوجد منها 3 أنواع انحناء γ - bending، التواء τ - torsion وانشاء τ_p - puckering.
- الانحناء يحدث لمجموعة (γ -CH) عند v_{33} بنسبة 81%، 77% (2) للمتساكين 1H-، 3H- على التوالي ولمجموعة γ -NH عند v_{41} بنسبة 74% للمتساكين 1H- والآخرى كخليط من الاهتزازات عند v_{36} ، وللمتساكين 3H- تظهر جميعها كخليط عند v_{36} ، v_{42} .
 اما الالتواء فيحدث لمجموعة (τ -CH₃) عند v_{50} ، v_{51} بنسبة 87%، 96% للمتساكين 1H-، وبنسبة 89%، 96% للمتساكين 3H- ويظهر كخليط عند v_{49} للمتساكين 1H- والالتواء في حلقة البيريدين (τ - Φ_P) يظهر عند v_{35} ، v_{37} ، v_{40} ، v_{42} ، v_{47} ، v_{49} للمتساكين 1H-، عند v_{37} ، v_{40} ، v_{44} ، v_{46} ، v_{49} للمتساكين 3H-، ولحلقة التريازول (τ - Φ_T) عند v_{34} ، v_{35} ، v_{36} ، v_{37} ، v_{44} للمتساكين 1H- وهناك التواء لحلقة البيريدين والتريازول معا (τ - Φ_P/Φ_T) يظهر عند v_{44} ، v_{47} ، v_{48} ، v_{49} للمتساكين 1H- وعند v_{44} ، v_{46} ، v_{48} ، v_{49} للمتساكين 3H-.
 اما الانثناء يحدث في حلقة البيريدين (τ_p - Φ_P) فقط عند v_{37} للمتساكين 1H- وعند v_{35} ، v_{37} للمتساكين 3H-.
 اما الحركة المتأرجحة ρ فهي عبارة عن مزيج من الحركات الاهتزازية في مستوى الحلقة in-plane وخارج مستوى الحلقة out-of plane، وتظهر في مجموعة CH₃ فقط عند v_{26} ، v_{27} بنسبة 73%، 79%، 55% من الاهتزازات عند v_{28} بنسبة 78%، 82% للمتساكين 1H-، وعند v_{26} ، v_{27} بنسبة 78%، 82% من الاهتزازات عند v_{25} ، v_{31} ، v_{32} ، v_{25} ، v_{28} ، v_{31} ، v_{32} للمتساكين 3H- وتوضح الاشكال (5)، (6)، (7) الاطياف الجزيئية للأشعة تحت الحمراء، وأطياف رامان للمركب المدروس 1H، 3H والتي لا يوجد اختلاف في توصيف الاهتزازات لها، حيث توضح تقارب قيم العدد الموجي العملي مع العدد الموجي النظري ويعزى عدم الاختلاف في هذه القيم الي سببين رئيسيين الاول هو طبيعة التجاذب بين ذرة النيتروجين في حلقة البريدين، ومجموعة الميثيل المعطية للالكترونات في موضعين مختلفين حول ذرة النيتروجين في حلقة البريدين، اما السبب الثاني وهو التجاذب الحثي بين مجموعة الميثيل في حلقة البريدين، وذرات النيتروجين في حلقة التريازول، والتي يمكن تعريفها بالإعاقة الفراغية بين مجموعة الميثيل في حلقة البريدين، وذرات النيتروجين في حلقة التريازول [15-20].
- الاستنتاج:**
 من خلال الدراسة تم التوصل للنتائج التالية:

- (1) اطوال الروابط المحسوبة تتفق تماما مع بيانات X-Ray المدونة في المراجع العلمية للمركبات ذات نفس التركيب الكيميائي والحلقات المشابهة لها.
- (2) الخصائص الاهتزازية لمركب تريازول (النظام المضاعف) تعرض عدة انماط مميزة التي تبقي دون تغيير تقريبا في اهتزازات المركبات الي تحتوي علي نفس التركيب.
- (3) يعطي المركب 4,6-methyl-1H(or 3H)-1,2,3-triazolo[4,5-c]pyridine خليط راسيمي من 1H و 3H.
- (4) التركيب الكيميائي للمركبات المدروسة مستقر بسبب تشكل الروابط الهيدروجينية

المراجع

- [1]- E. VMiller,(1957), "Chemistry of plants, Reinheld", NewYork.
- [2]- R. R. Guptam M. Kumar, V. Gupta, (1998), "Hetrocyclic Chemistry", Vol. 1, Springer.
- [3]- T. Eicher, S. Hauptman, (2003), "The Chemistry of Heterocycles, Structures, Reactions, Synthesis and Application", Wiley-VCH.
- [4]- John D. Roberts, Marjorie C. Caserio, (1964) "Basic Principles of Organic Chemistry", (W. A. Benjamin, Inc. , another classic textbook.
- [5]- Richard F. and Salty J. Daley, "Organic Chemistry", Online organic textbook. Ochem4free.info.
- [6]- D. M. Kiefer,(1993), "Organic Chemical Mauve Beginning", Chem.Eng, News Archive, Vo; 71, pp22-23, doi: 10.1021/cen-v07in032. P022.
- [7]- A. I. Hanafy, A. K. T. Maki, K. El-mankhaly, M. M. Mostafa, (2008), "spectrochimica Acta parta", 71 133.
- [8]- Gerrylynn K. Roberts, Colin Archibald Russell, (2005), Chemical History: reviews of the recent literature. Royal Society of chemistry, ISBN 0-85404-464.
- [9]- M. J. Frisch et. Al,(1998), GAUSSIAN 98, Rev. 5program, Gaussian Inc. Pittsburgh, PA.
- [10]- M. M. Szczesniak and B. Maslanka, Animol Computer Program: Infrared and Raman spectroscopy teaching Tool.
- [11]- J. Cramer, (2002), "Essential of computational chemistry", John Wiley&Sons.
- [12]- T. Clark A, (1985), "Handbook of Computatoinal chemistry", Wily, New York.
- [13]- R. Dronskowski, (2005),"Computational Chemistry of state Materials", Wiley-VCH.
- [14]- F. Jensen, (1999),"Introduction to Computational Chemistry" John Wiley &Sons.
- [15]- J. Hamuza, W. Sasiadek, E. Kucharska, J. Michalskim M. Macczka, A. A. Kaminskii, A. A.Koronienko, E. B. Dunina, H. Klapper, J. Hulliger and A. A. Mohmed, (2004), Spontaneous and stimulated Raman Scattering and Infrared spectra of benzyl Crystal.
- [16]- J. Hanuza, W. Sasiadek, E. Klapper, And A. A. mohmed, (2004),"polarized Raman and infrared spectra of salol crystal-chemical quantum calculation of the vibrational normal

- modes" j. Vibrational spectroscopy, 34m 253-268.
- [17]- J. Lorenc, L. Dymninska, Abudelrhman F. A. Mohmed, J. Hanuza, Z. Talik, M. Maczka, L. Macalik, (2007), "Vibrational dynamics and molecular structure of 1H- and 3H-1,2,3-triazolo[4,5-b]pyridine and its methyl-derivative based on DFT chemical quantum calculations.
- [18]- J. A. Gadsdem, (1975), "Infrared Spectra of mineral and related inorganic compounds", Butterwoths, London, UK.
- [19]- Jr. Workman and Springsteen, A. W, (1998), "Applied Spectroscopy" A Compact Reference for Practitioners", Academic press, San Diego, CA.
- [20]- B. V. Smith, (1996)," Fundamentals of Fourier Transform Infrared Spectroscopy", CRC Press, Boca raton, FL.